

FIG. 1

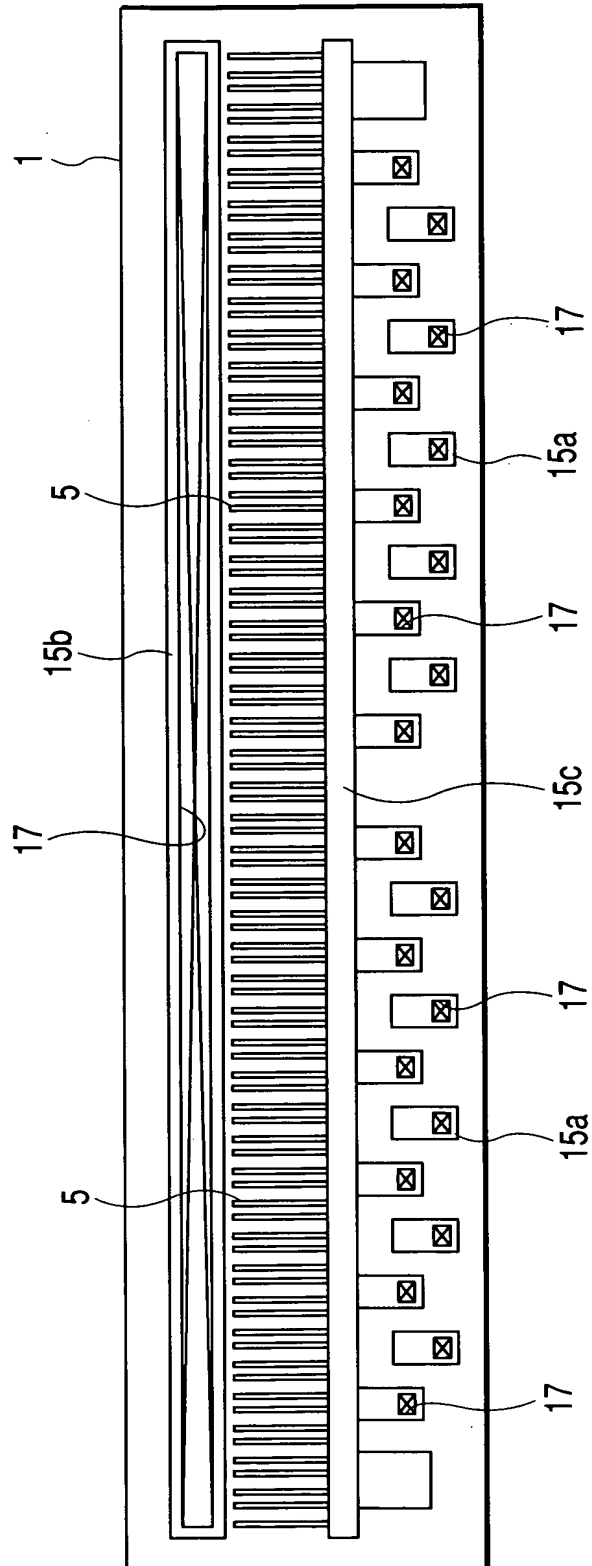


FIG. 2

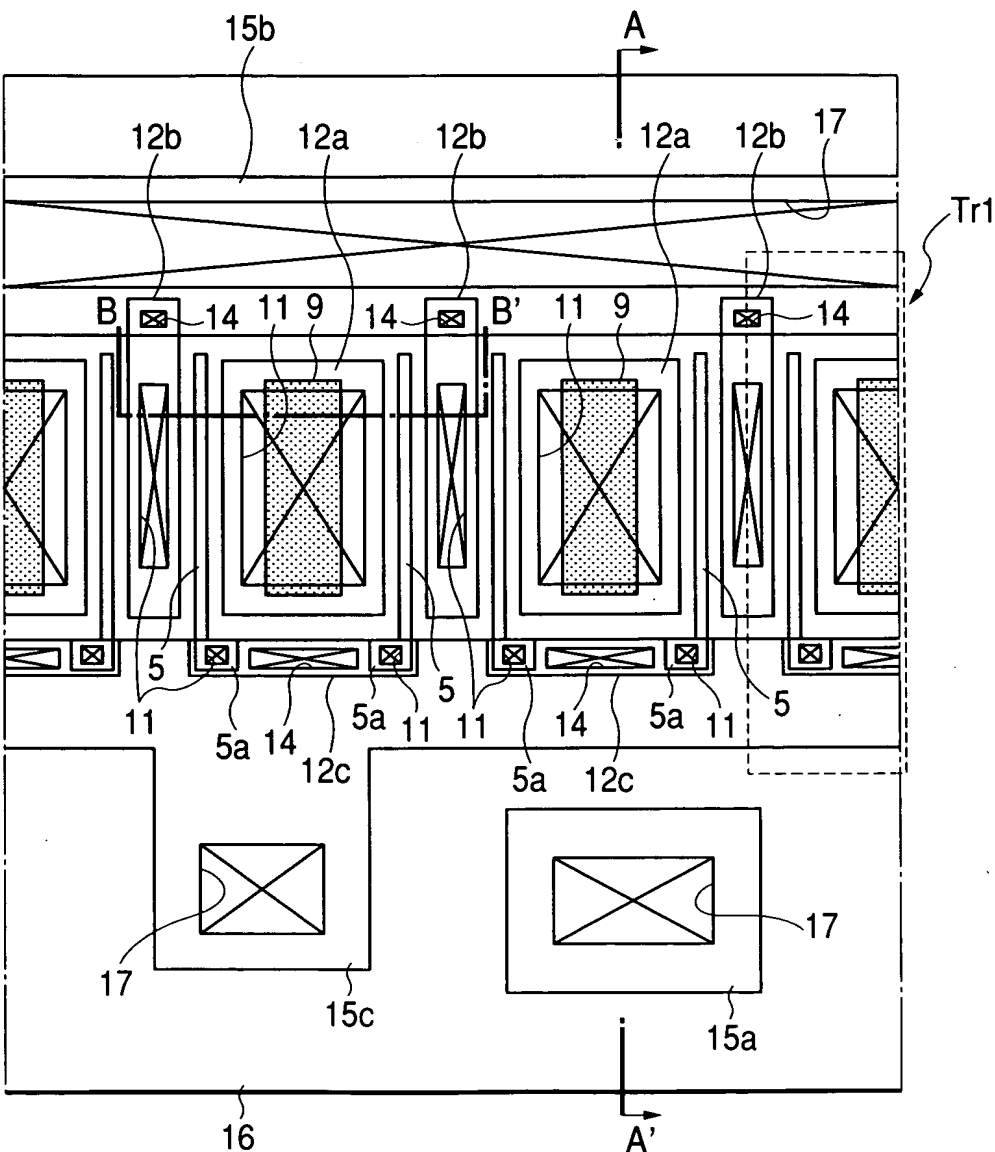


FIG. 3

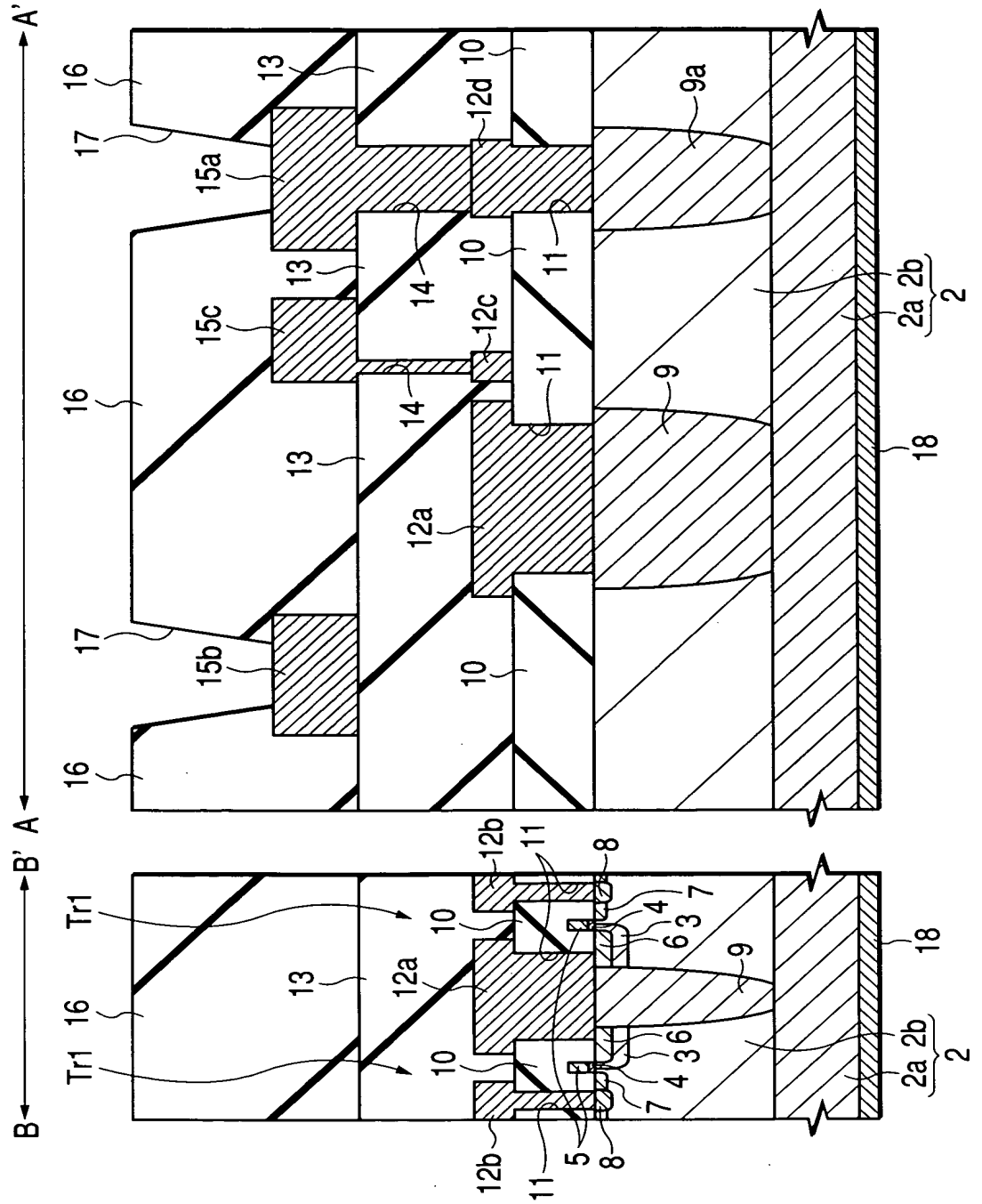


FIG. 4(a)

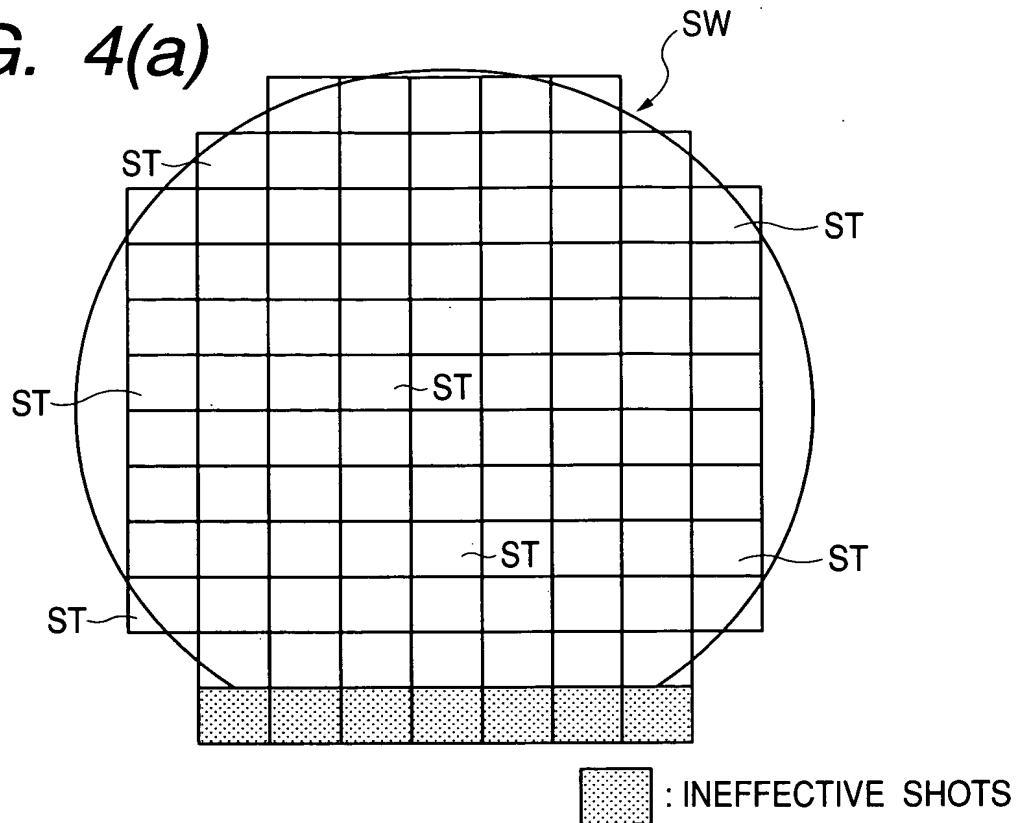


FIG. 4(b)

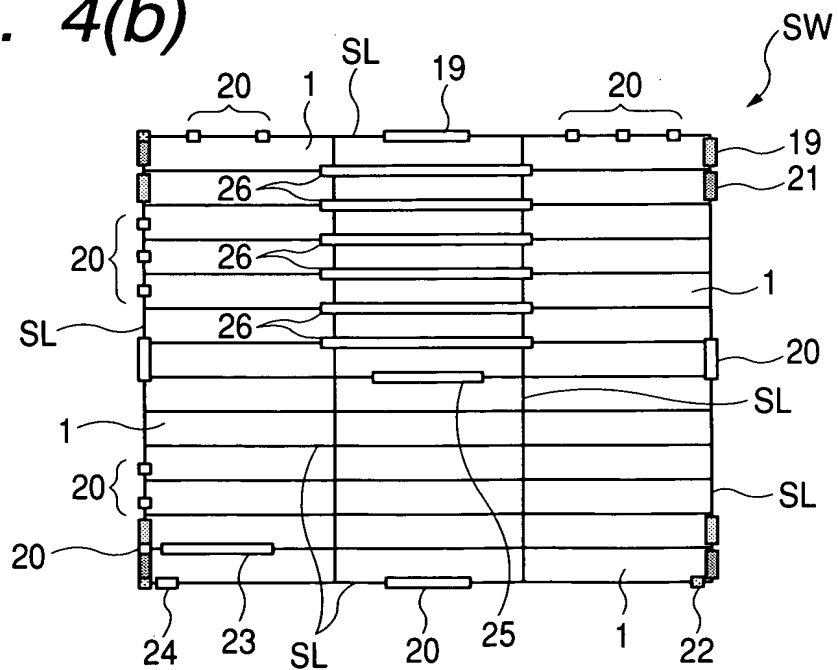


FIG. 5(a)

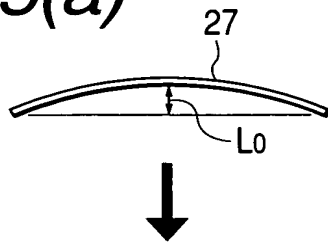


FIG. 5(b)

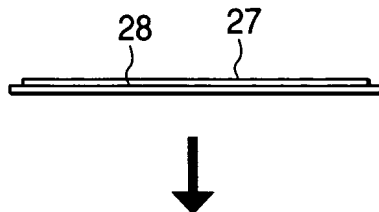


FIG. 5(c)

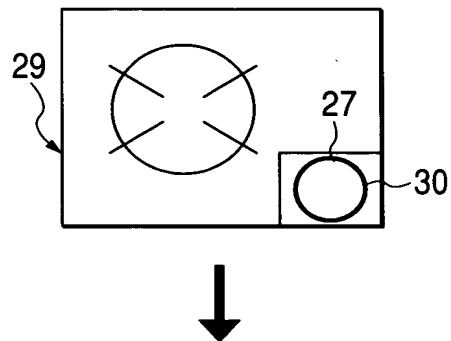


FIG. 5(d)

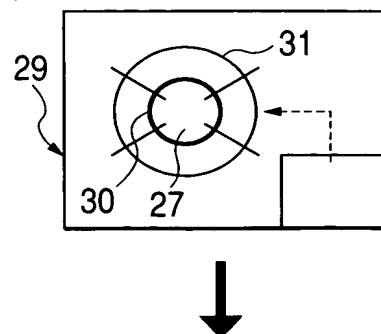


FIG. 5(e)

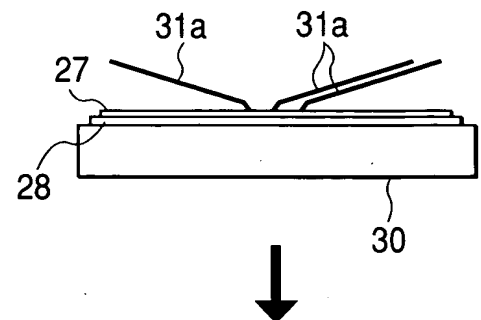


FIG. 5(f)

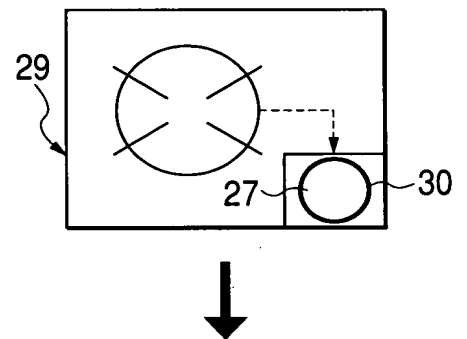


FIG. 5(g)

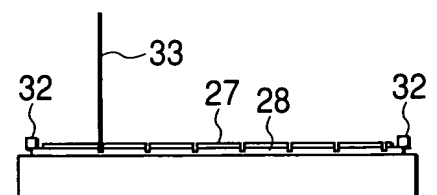


FIG. 6(a)

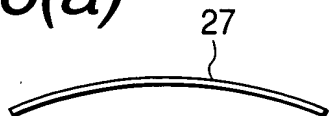


FIG. 6(b)

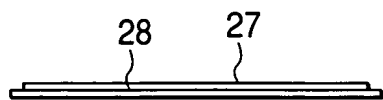


FIG. 6(c)

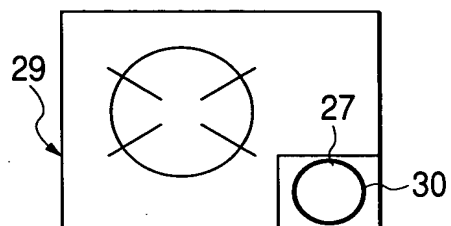


FIG. 6(d)

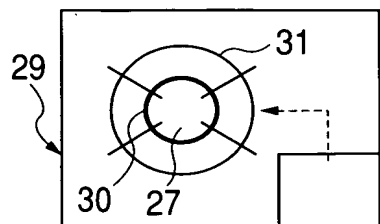


FIG. 6(e)

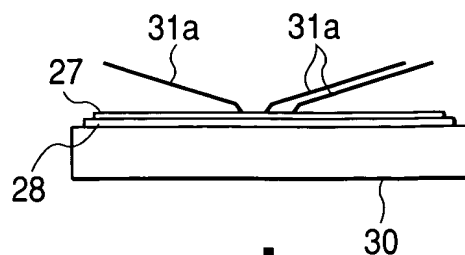


FIG. 6(f)

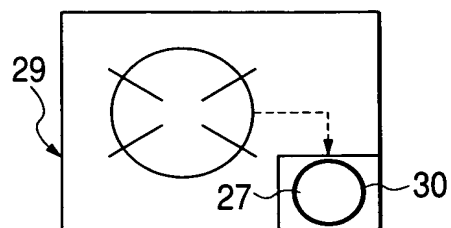


FIG. 6(g)

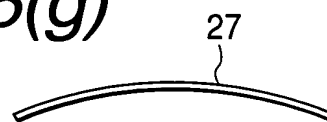


FIG. 6(h)

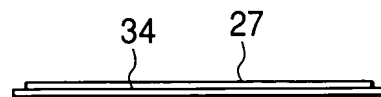


FIG. 6(i)

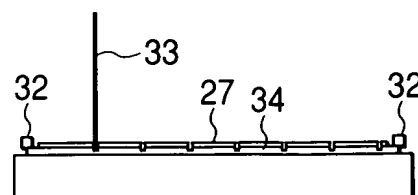


FIG. 7

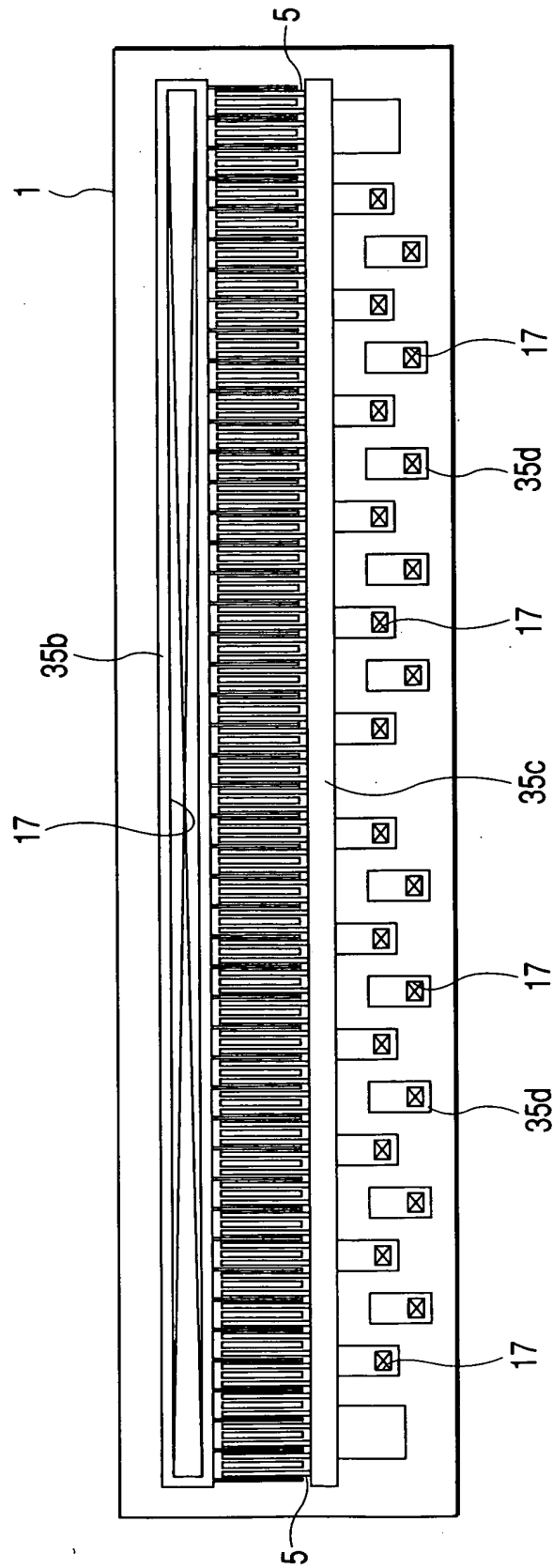


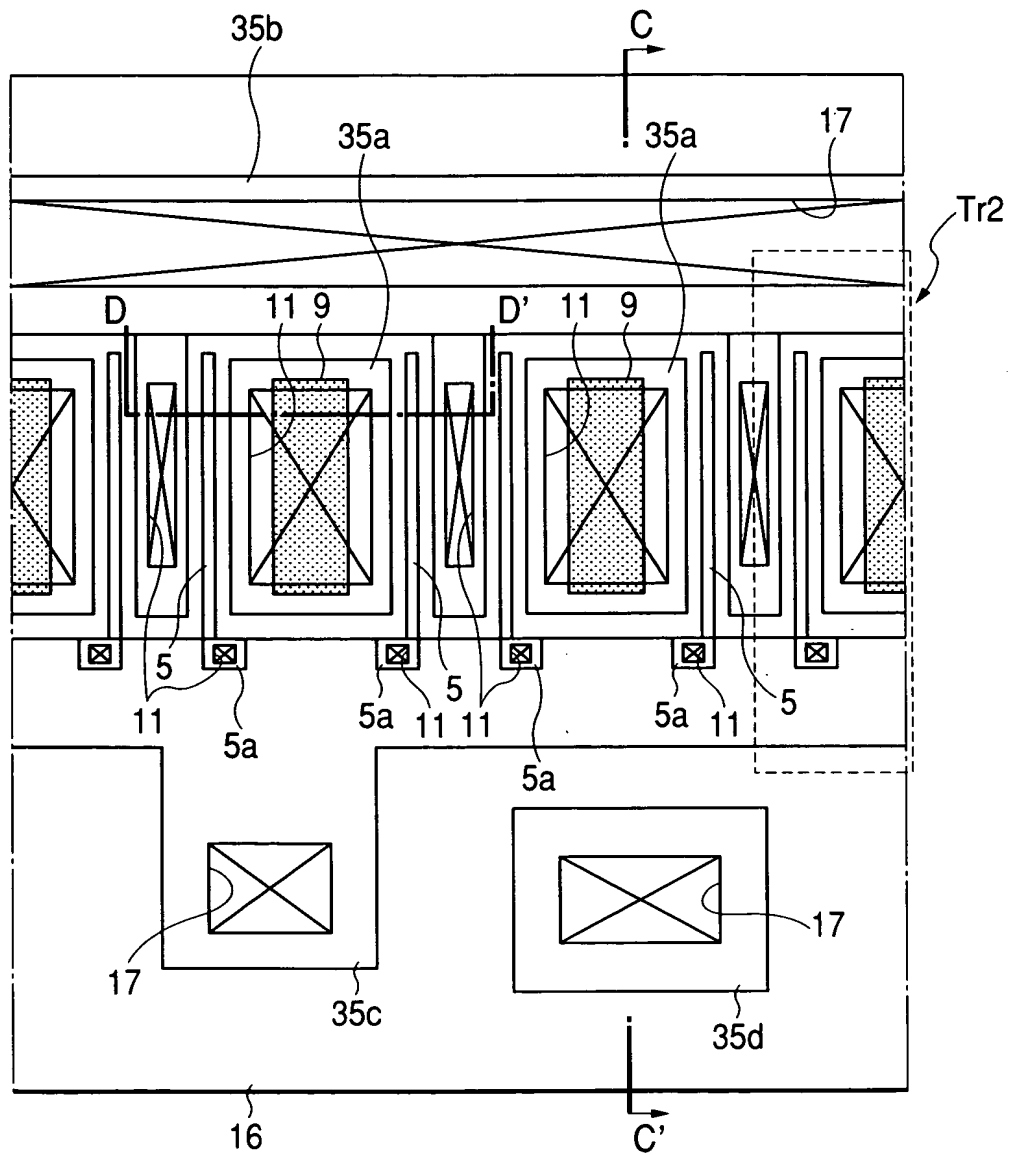
FIG. 8

FIG. 9

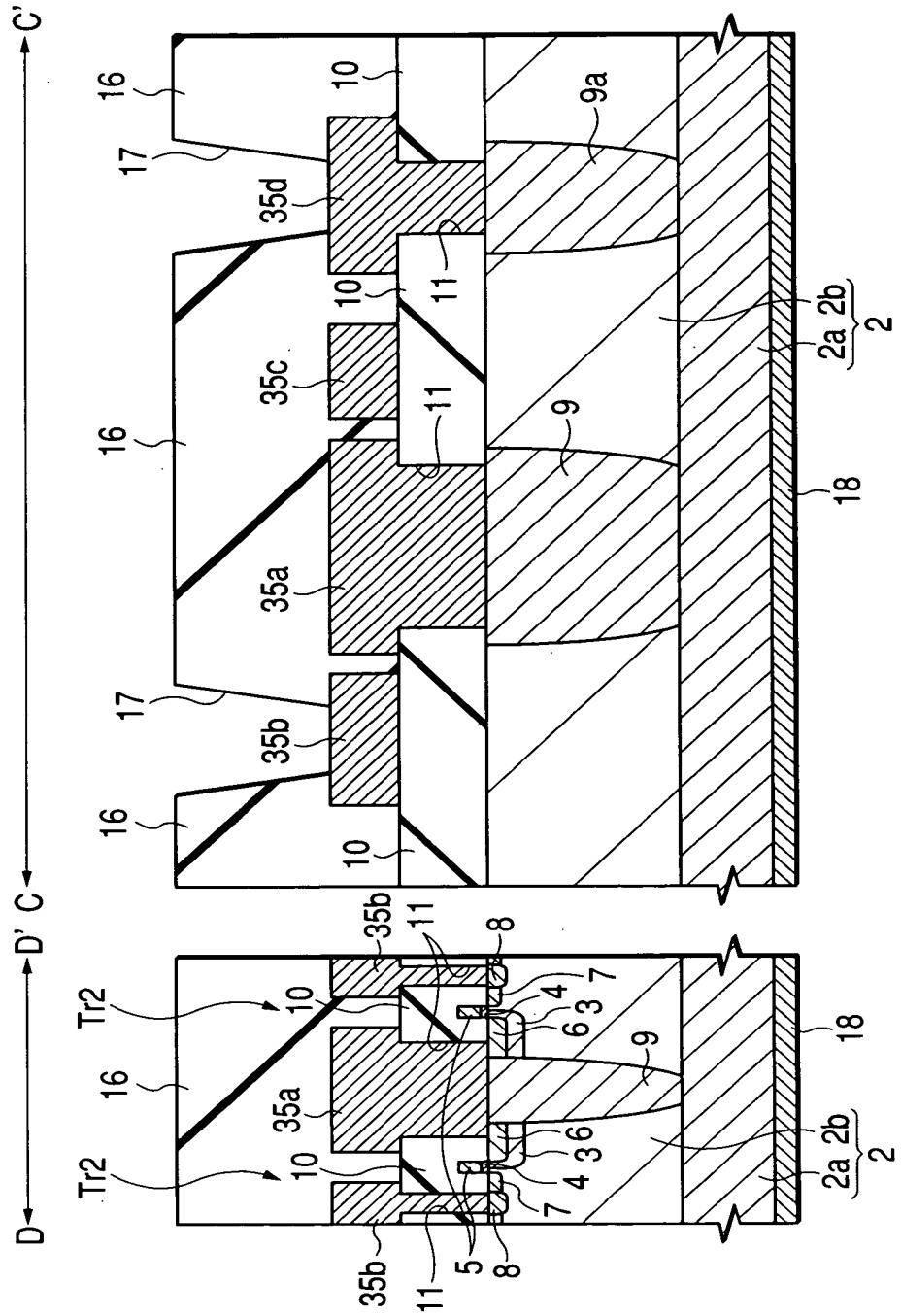
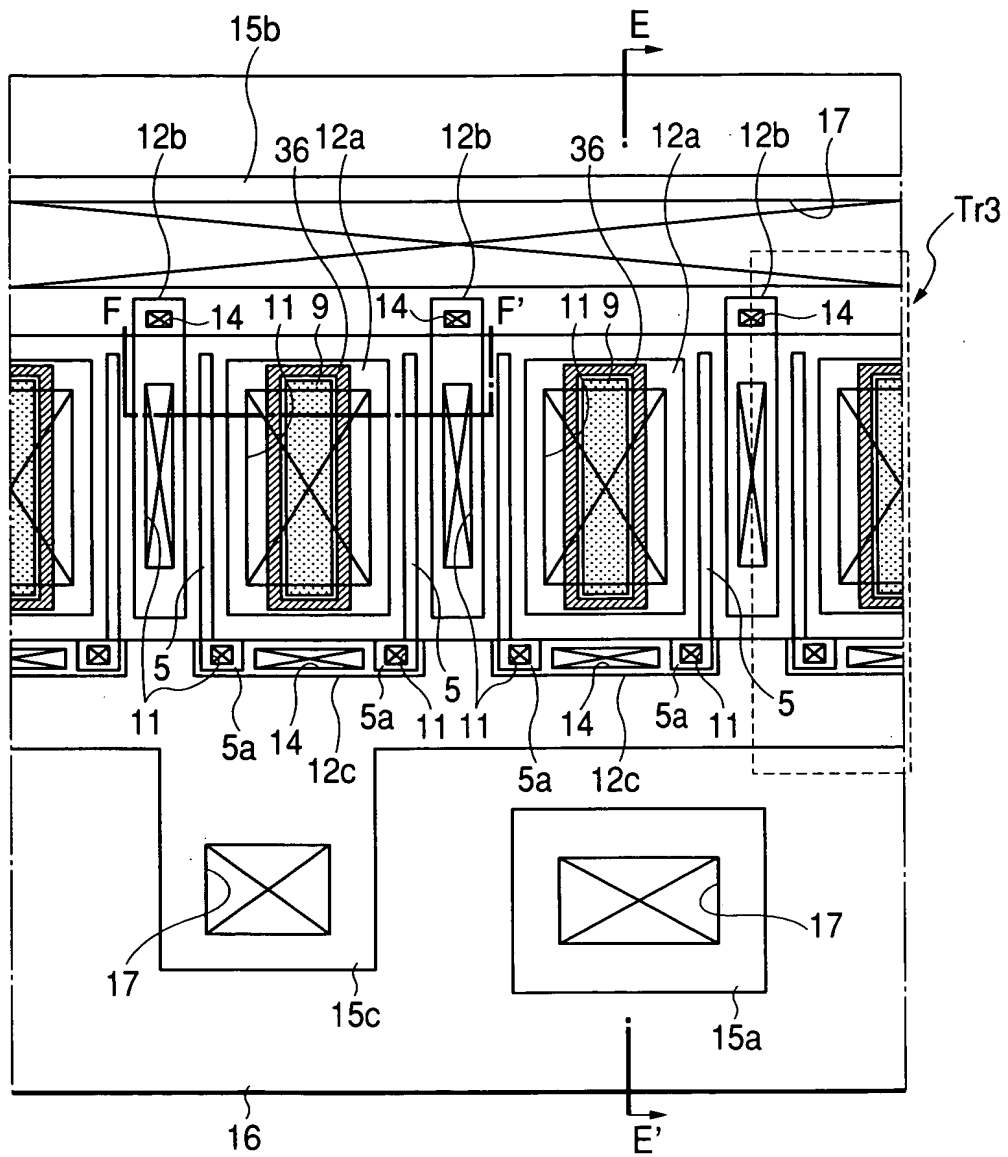


FIG. 10

9 : p TYPE SOURCE PENETRATING LAYERS
 36 : TRENCHES

FIG. 11

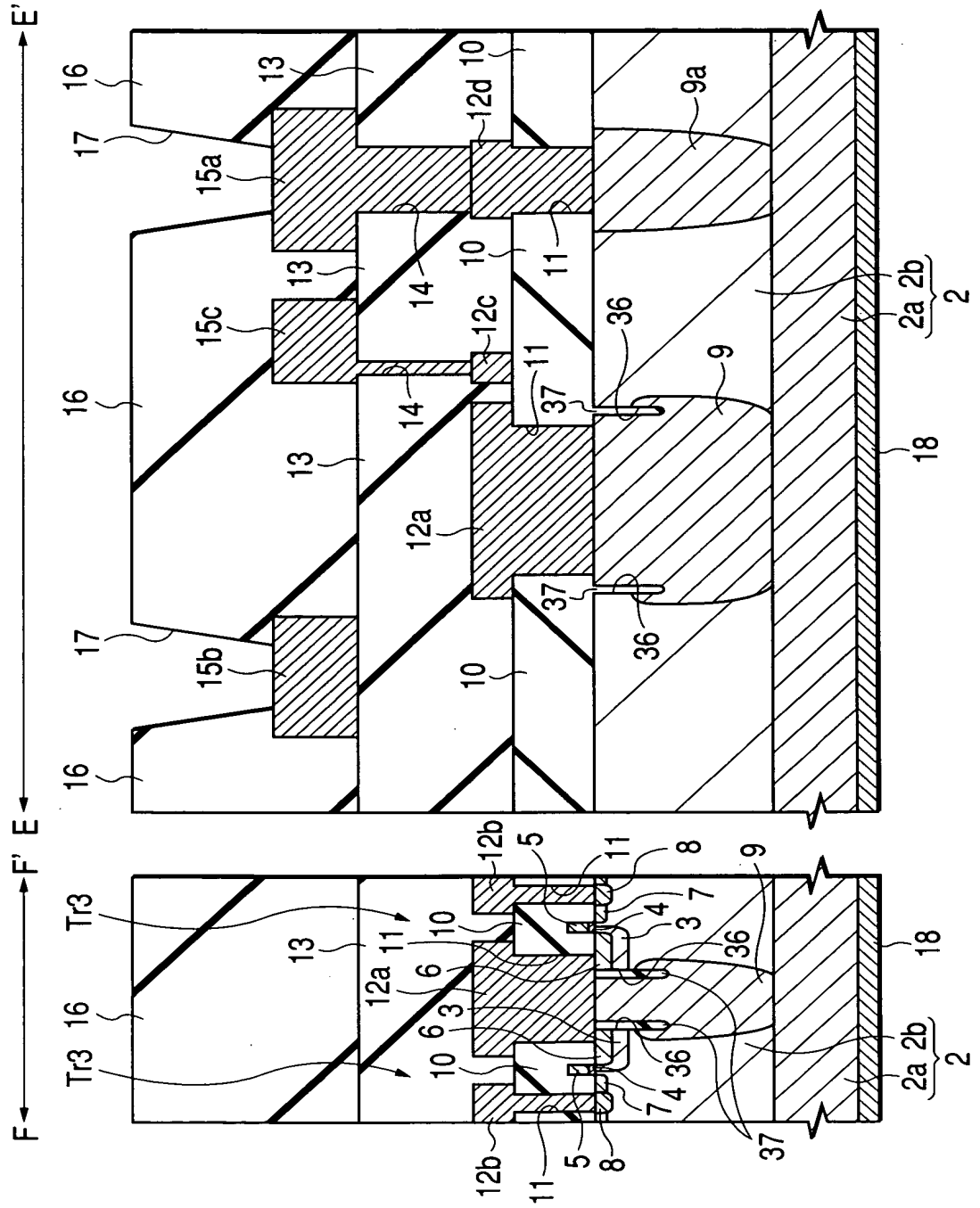


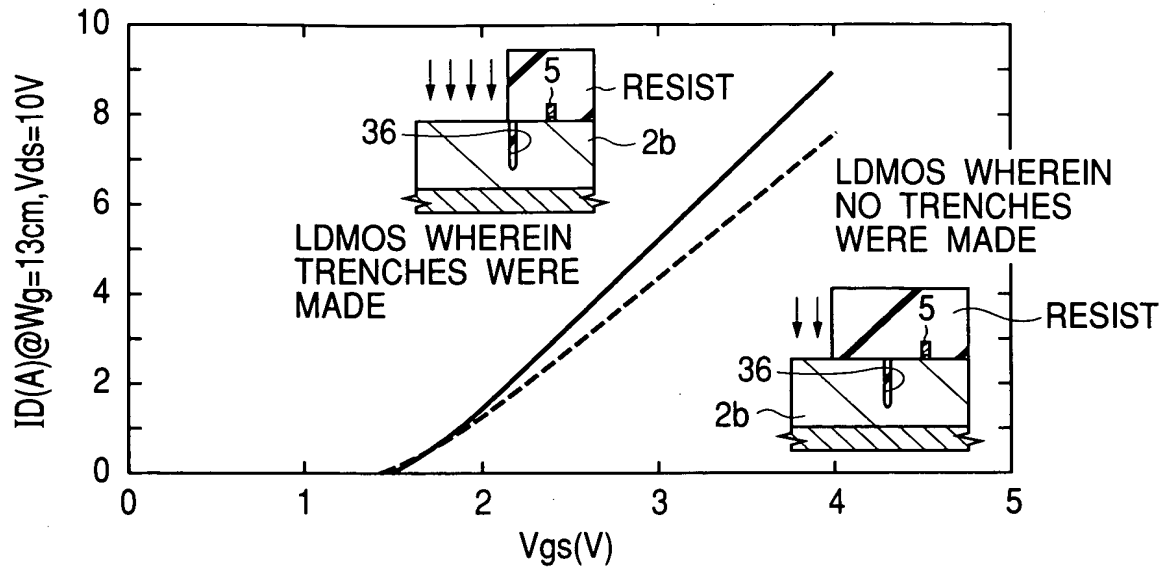
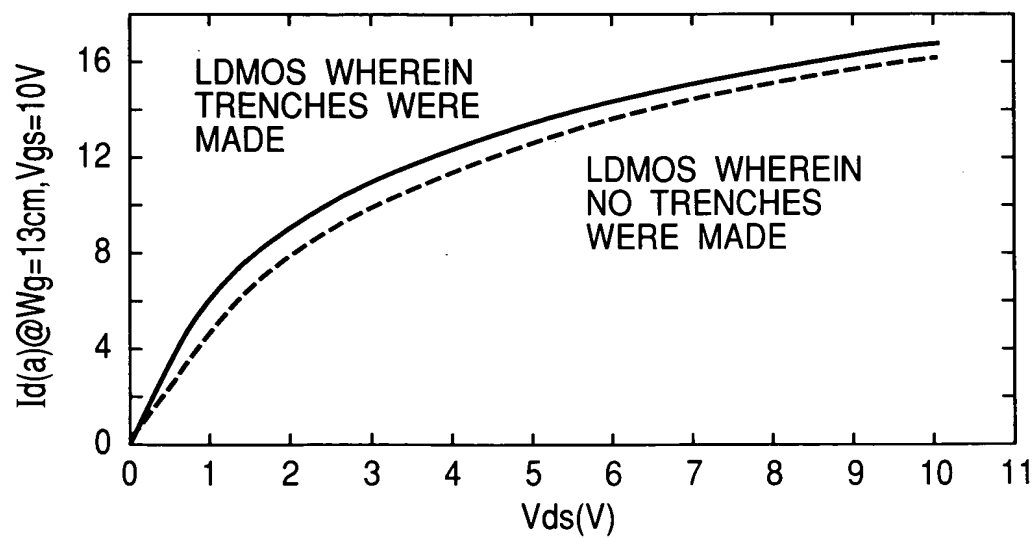
FIG. 12**FIG. 13**

FIG. 14(a)

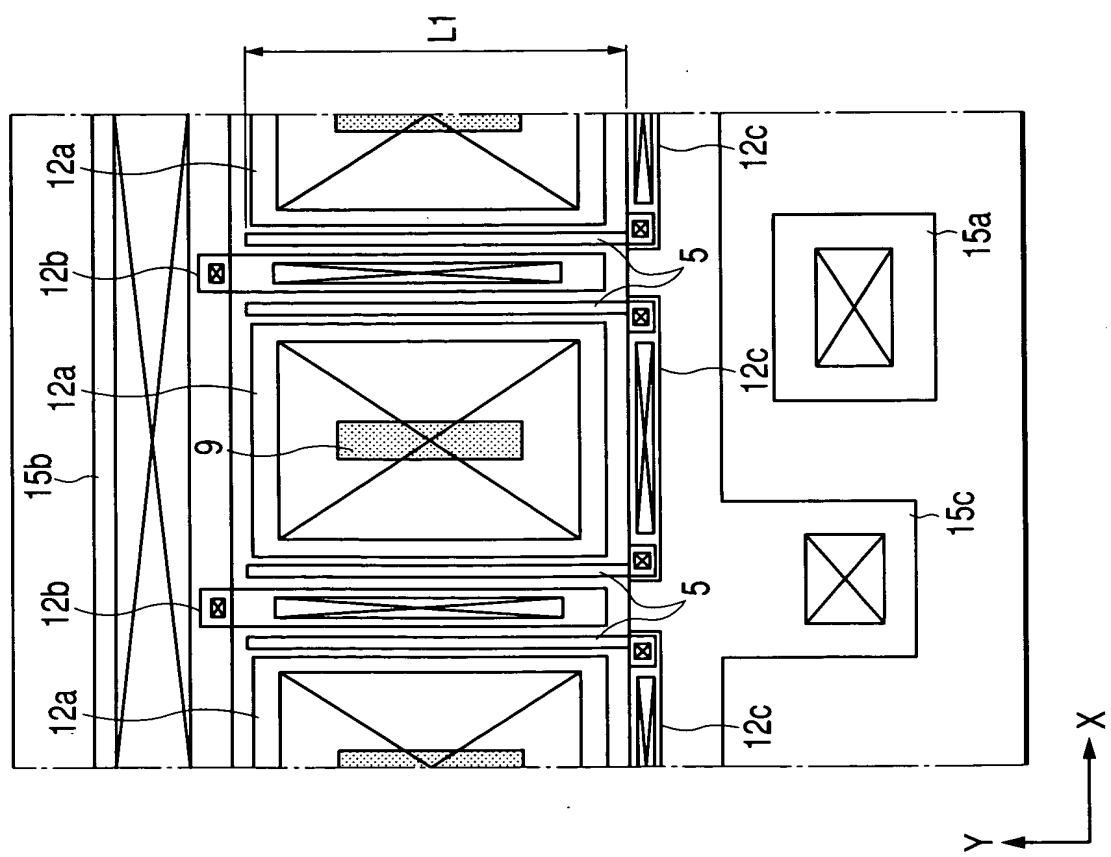


FIG. 14(b)

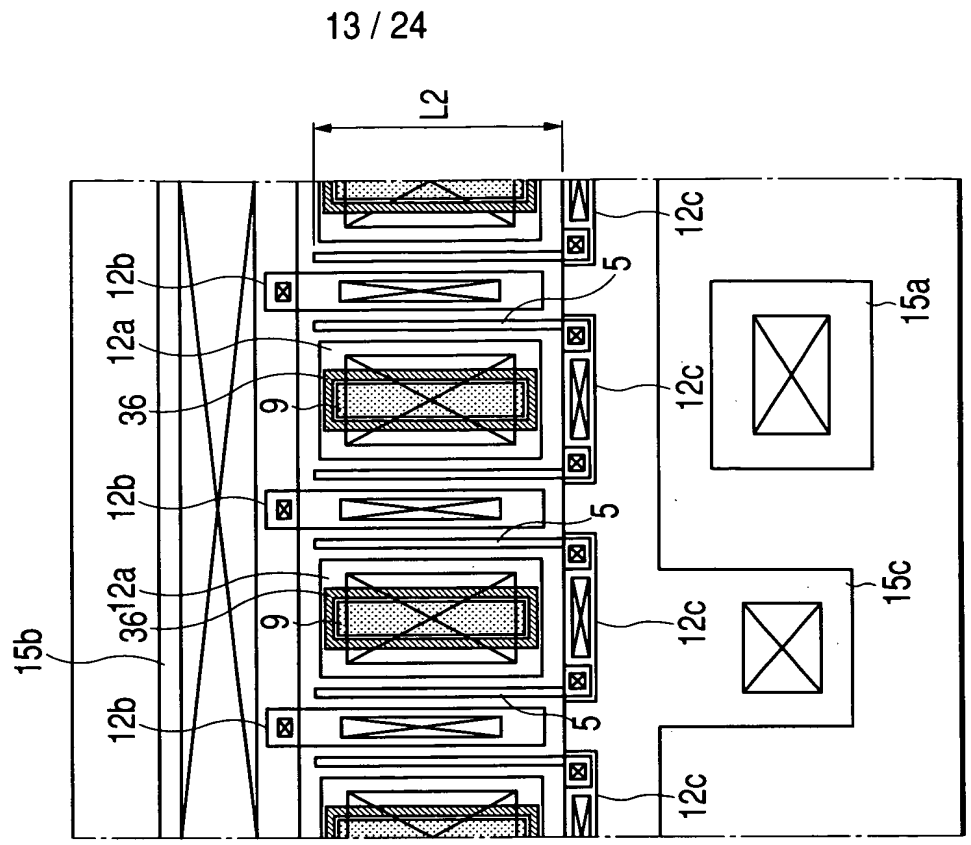


FIG. 15(a)

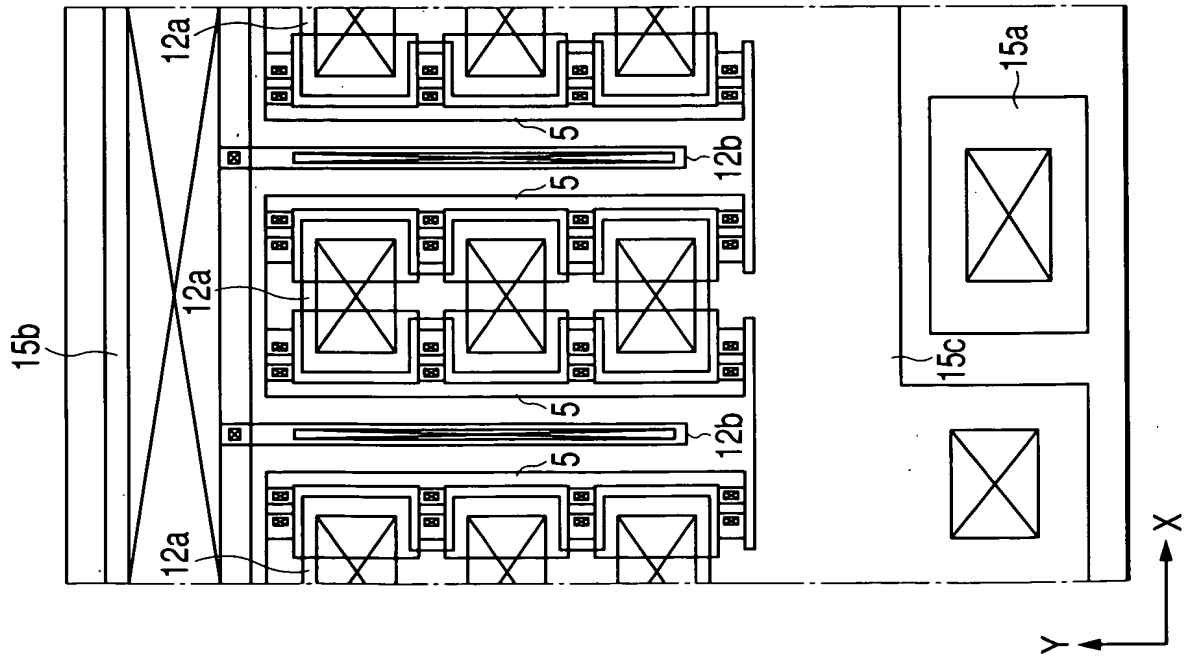


FIG. 15(b)

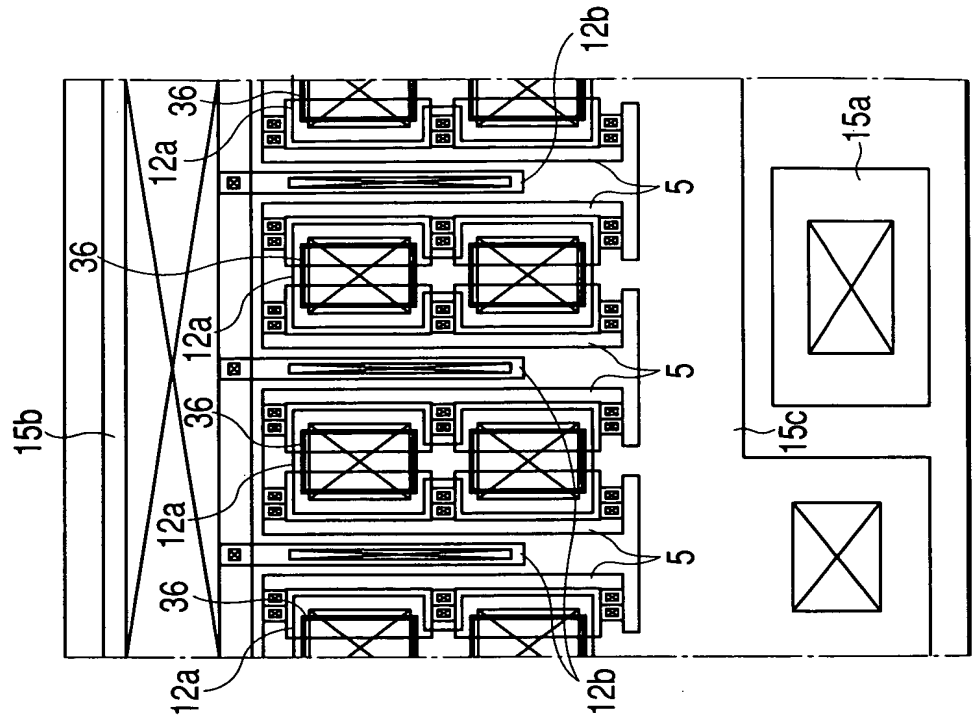


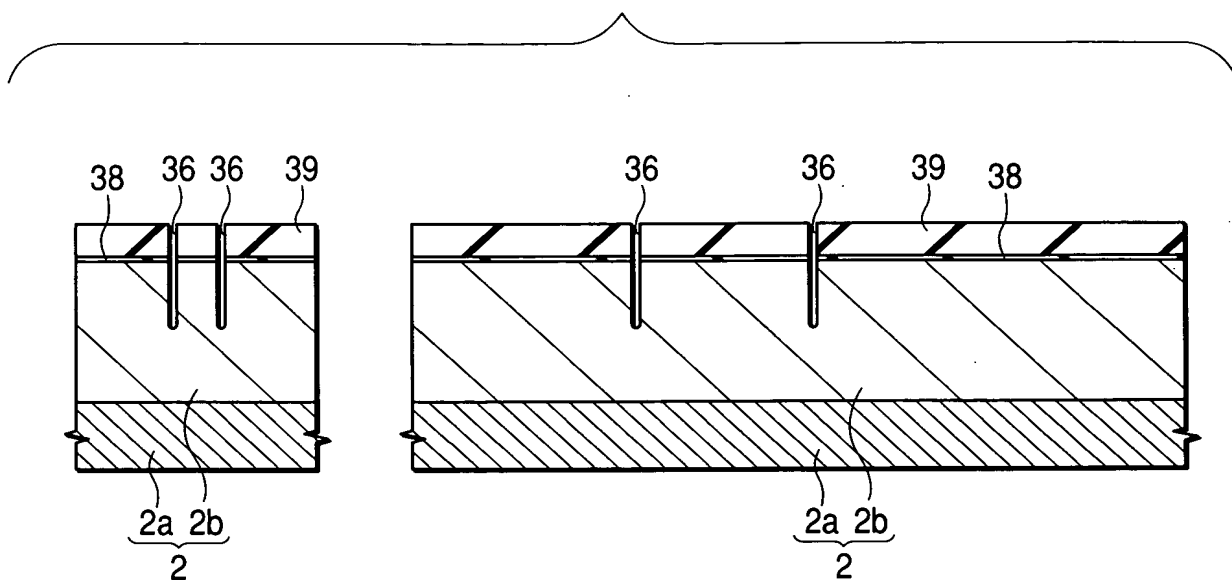
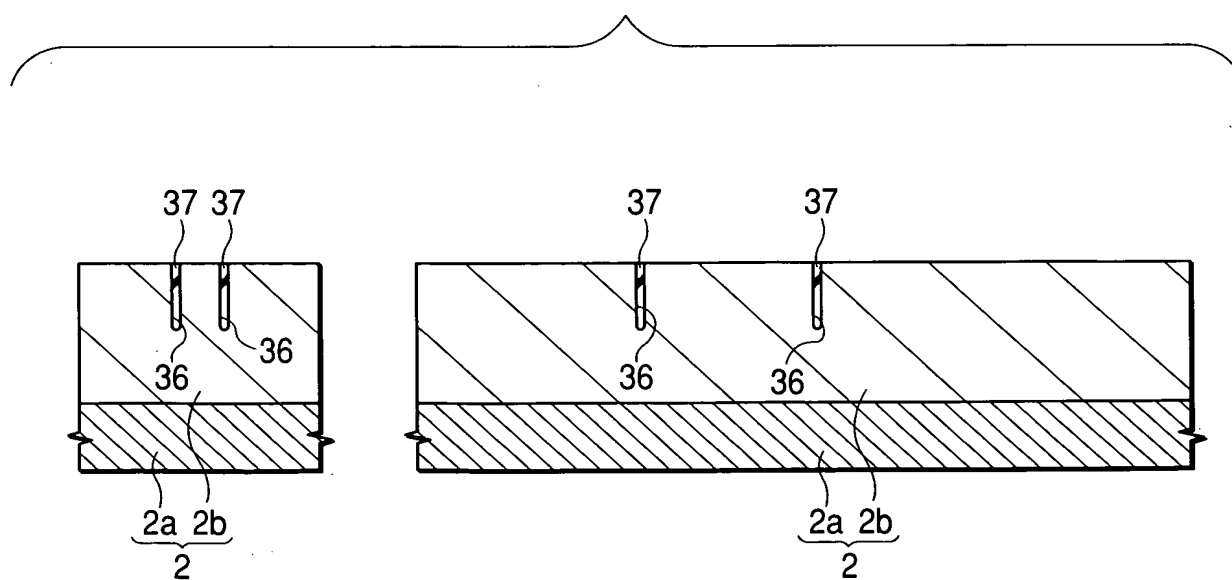
FIG. 16(a)*FIG. 16(b)*

FIG. 17(a)

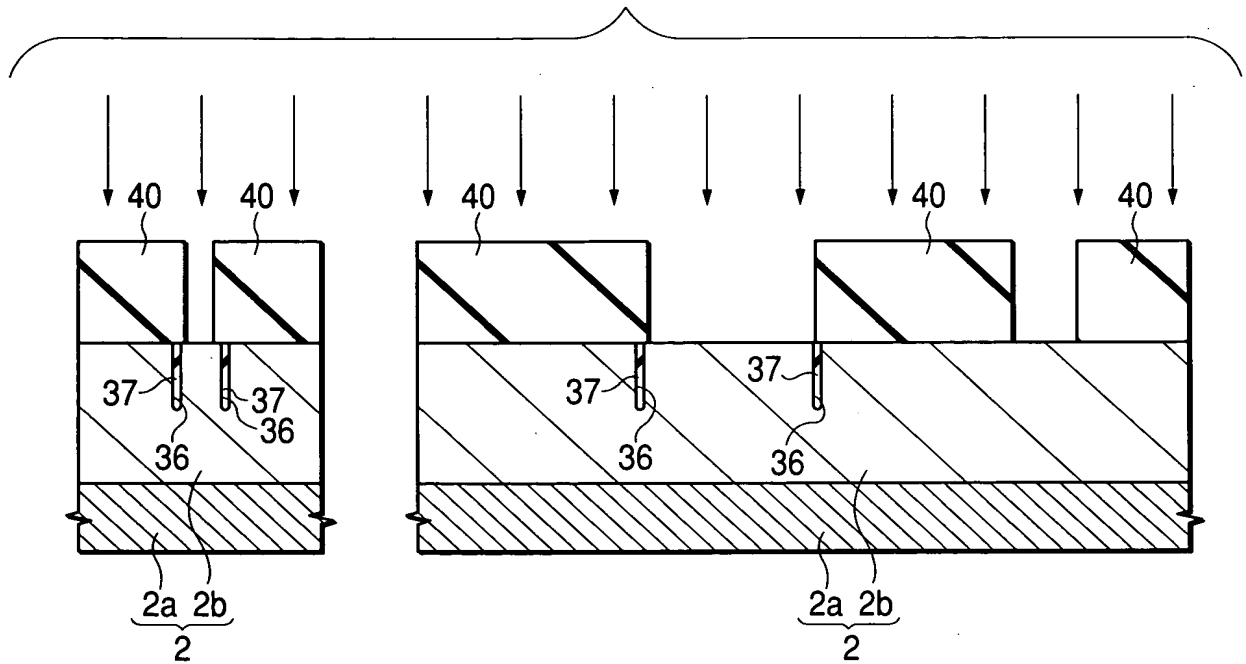


FIG. 17(b)

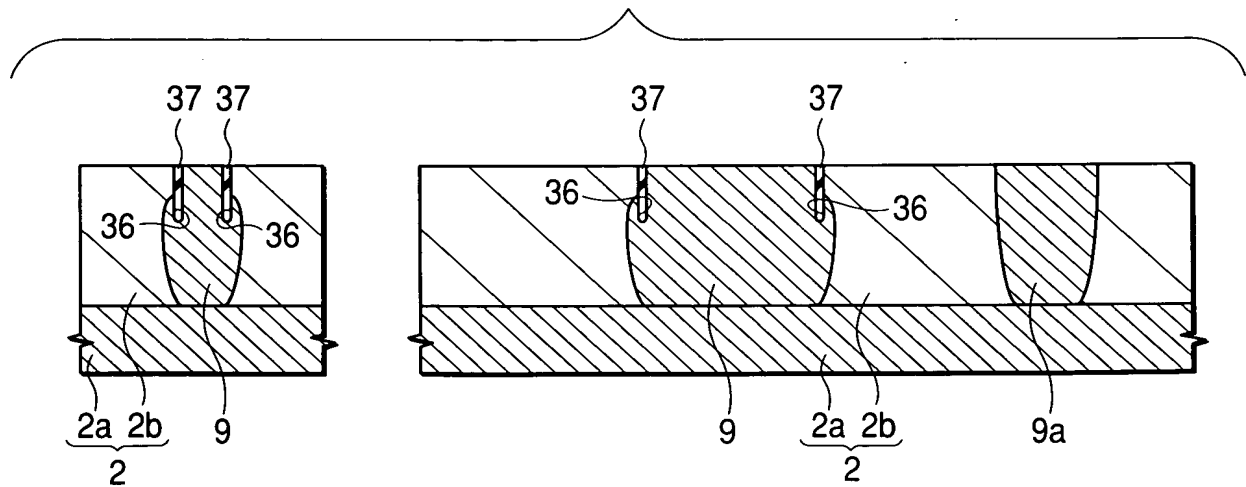


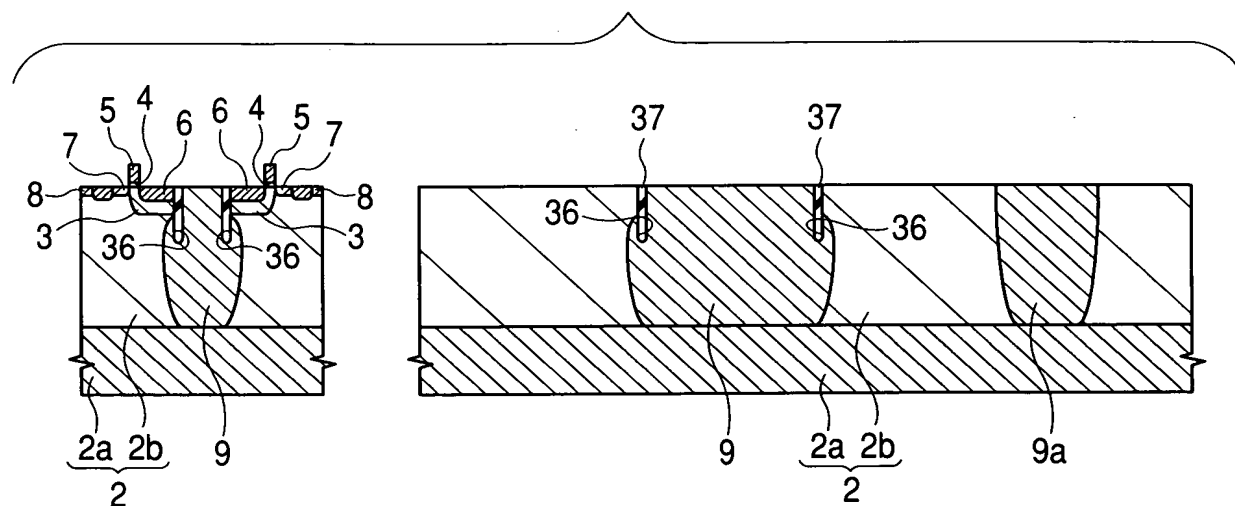
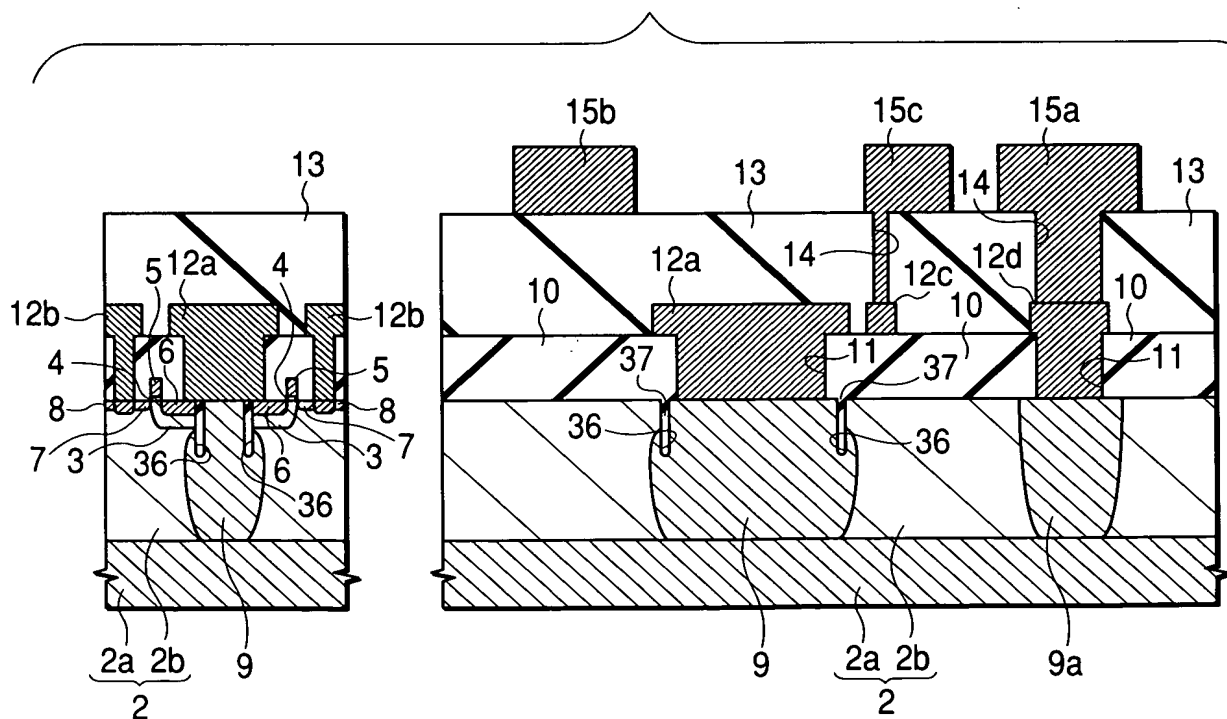
FIG. 18(a)**FIG. 18(b)**

FIG. 19(a)

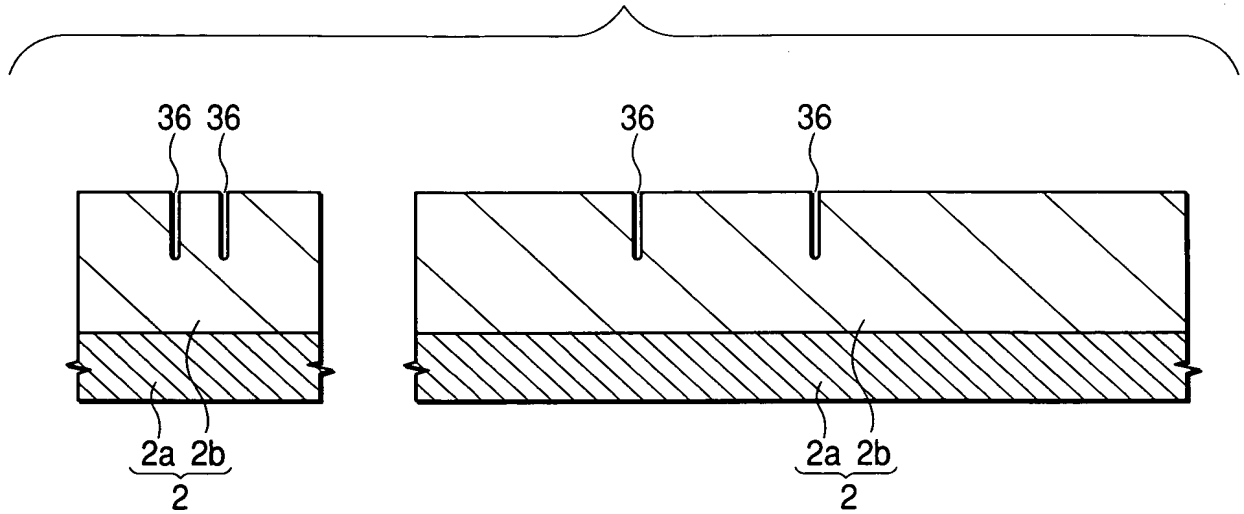


FIG. 19(b)

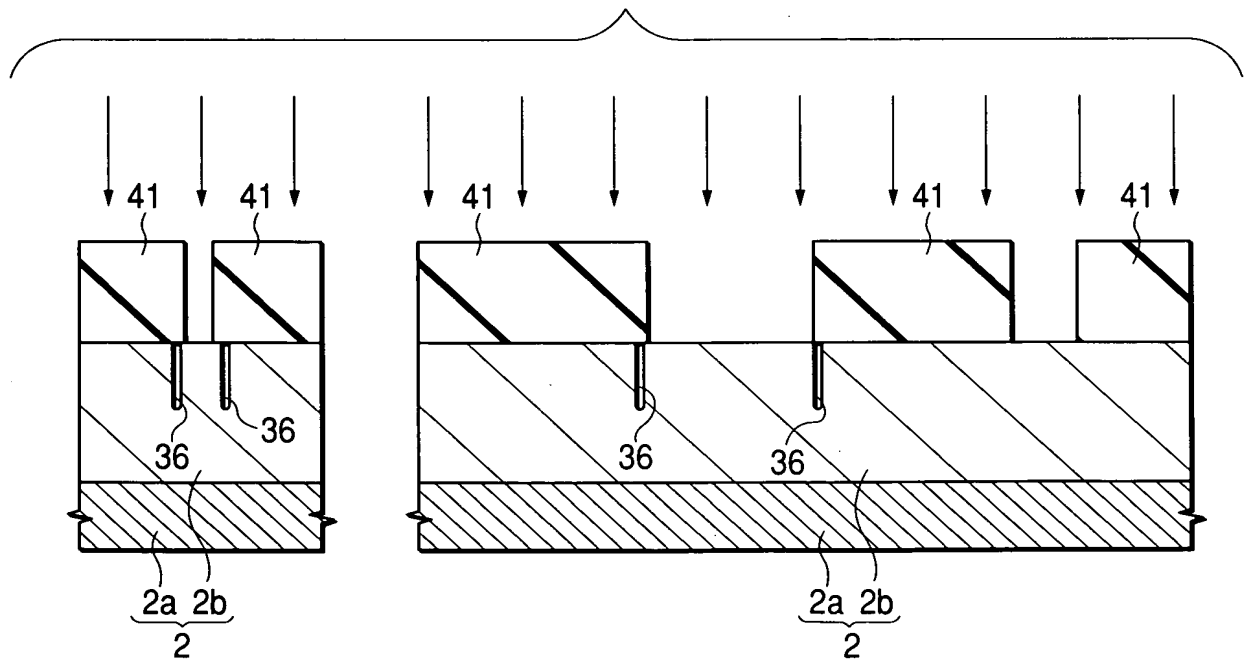


FIG. 20(a)

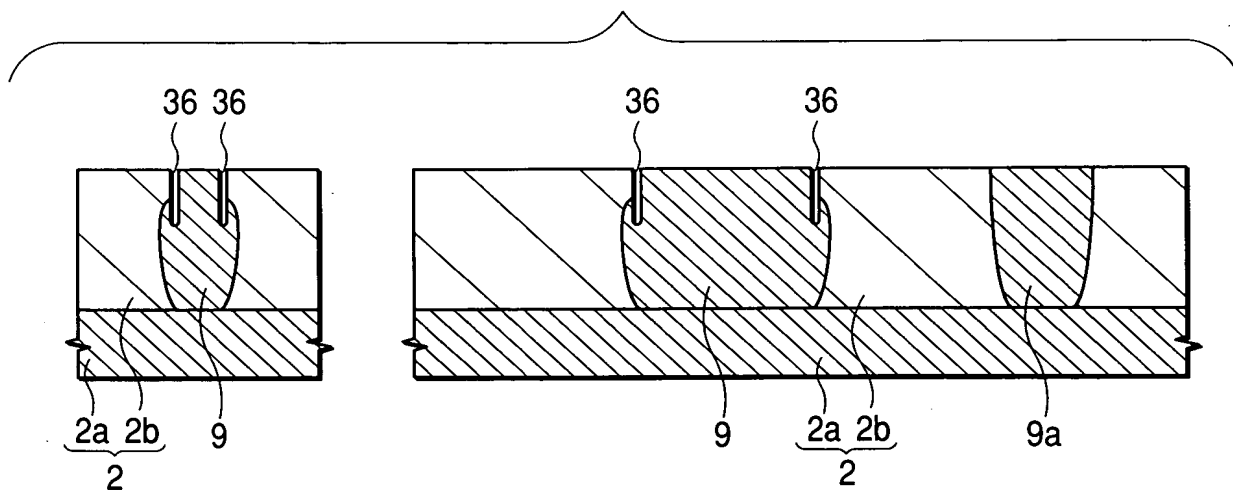


FIG. 20(b)

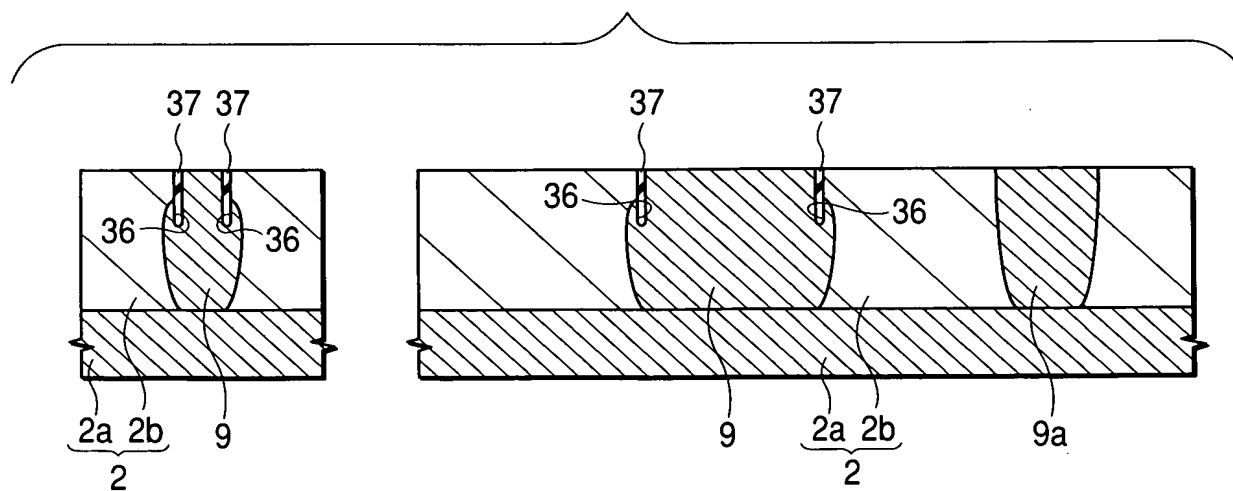


FIG. 21

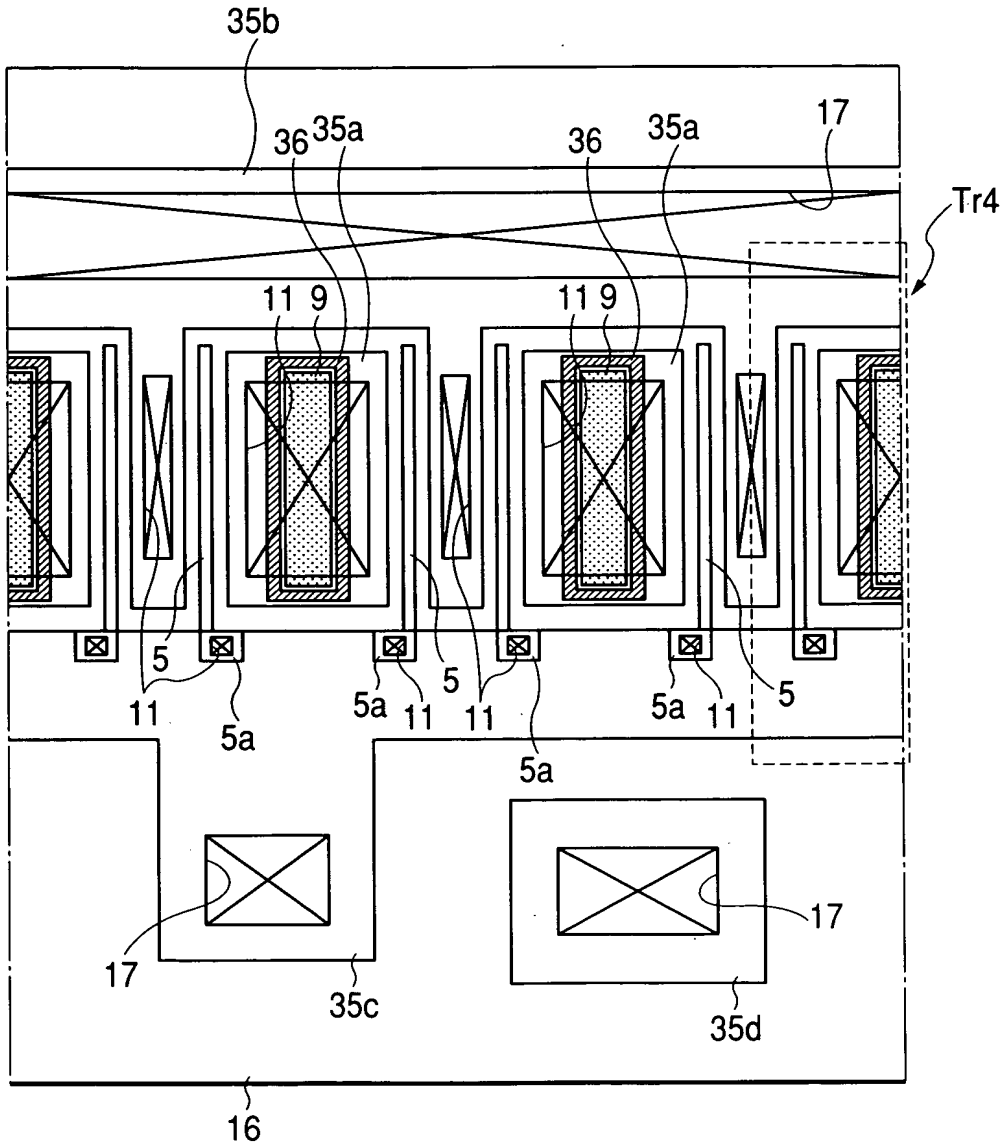


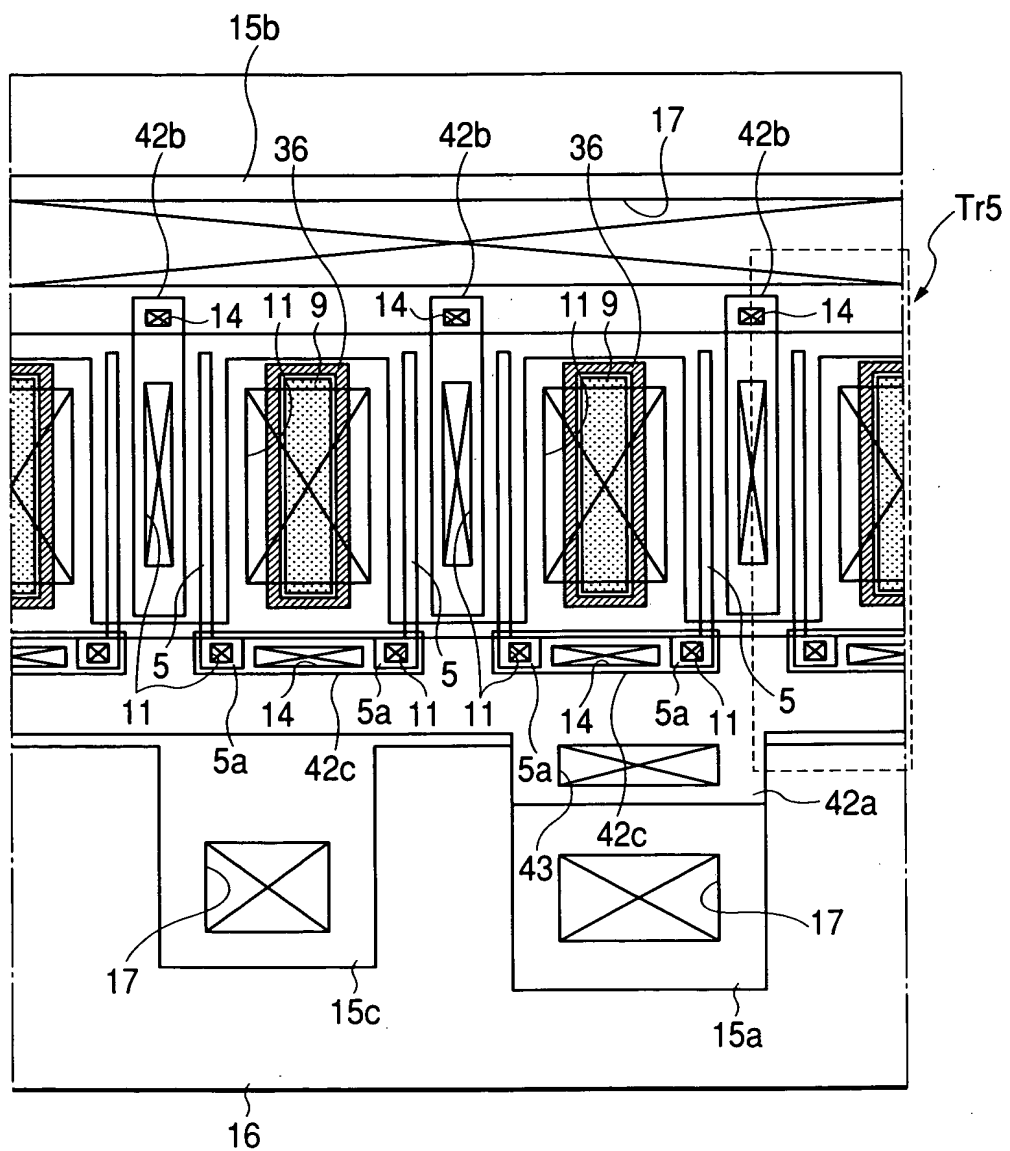
FIG. 22

FIG. 23

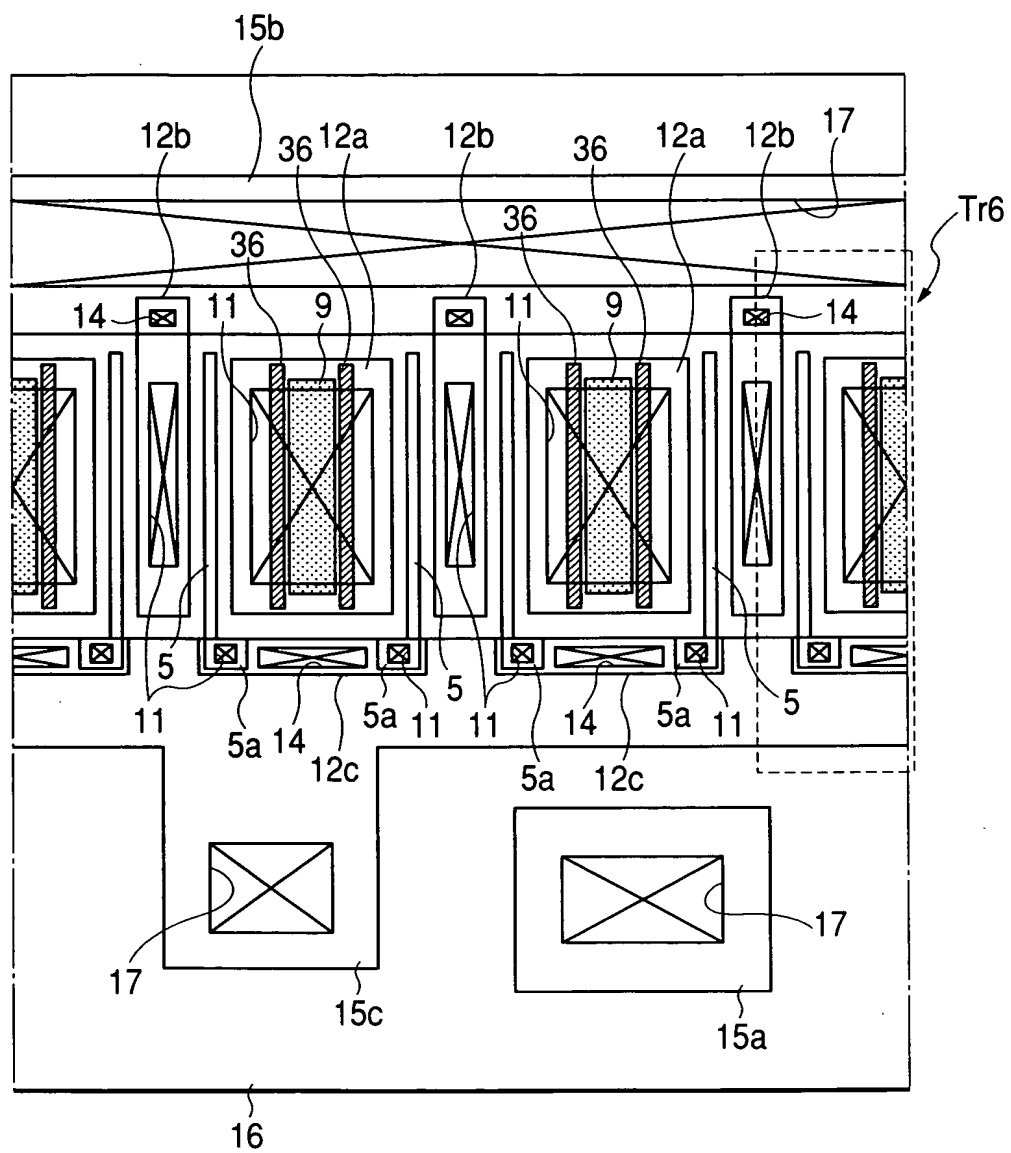


FIG. 24

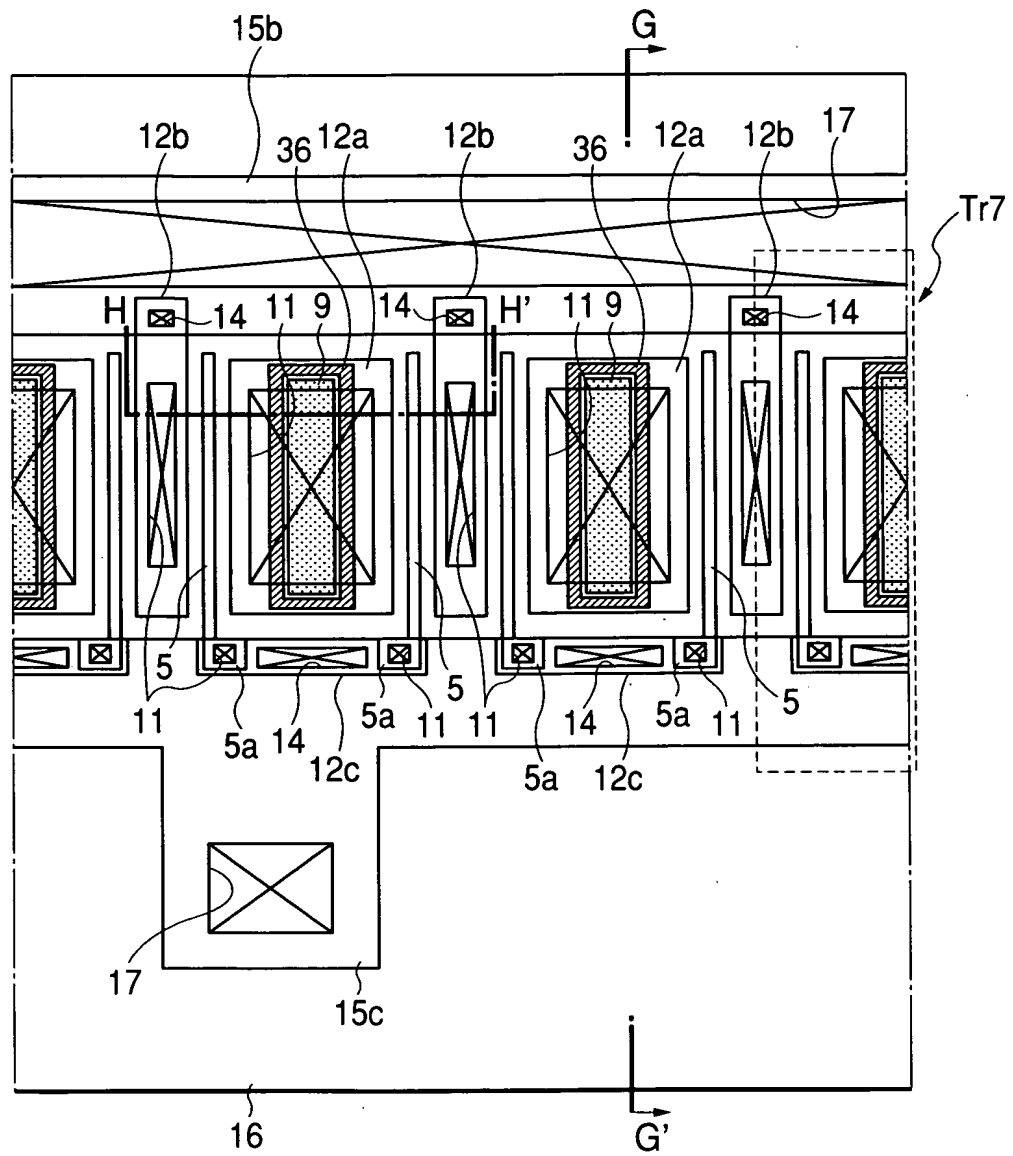


FIG. 25

